

А.А. Лагутин, А.Г. Тюменцев

## Спектр, массовый состав и анизотропия космических лучей во фрактальной Галактике

Формулируется модель аномальной диффузии, в которой распространение космических лучей высокой энергии в галактической среде моделируется фрактальными блужданиями (“полеты Леви” + ловушки со случайным временем удержания, где частицы могут терять энергию и испытывать ядерные взаимодействия). Решение полученного уравнения диффузии с производными дробного порядка находится аналитическим и численным методами с использованием теории дробно-устойчивых распределений. Обоснование параметров модели проводится путем сопоставления теоретических результатов с данными экспериментов. Представлены результаты расчета энергетического спектра, массового состава и анизотропии космических лучей в Галактике в энергетическом диапазоне  $E = (10^2 \div 10^{11})$  ГэВ, полученные в рамках данной модели. Показано, что главные особенности наблюдаемого в районе Земли спектра могут быть объяснены аномальным характером распространения космических лучей в межзвездной среде.

### Введение

Проблема происхождения и ускорения космических лучей является предметом исследований в течение многих десятилетий. Ключевое место в решении этой проблемы занимает вопрос о характере распространения космических лучей в Галактике. В принятом сегодня подходе прохождение космических лучей в межзвездной среде описывают в рамках нормальной (гауссовой) диффузионной модели [1, 2]. В этой модели неявно предполагается, что среда, в которой происходит диффузия частиц, является квазиоднородной: неоднородной в малых масштабах и однородной – в больших. Параметром процесса случайных блужданий частиц является коэффициент диффузии  $D$ , который определяется отношением второго момента распределения пробегов частицы между неоднородностями  $\langle R^2 \rangle$  к удвоенному среднему времени скачка  $\langle T \rangle$ :

$$D = \frac{\langle R^2 \rangle}{2\langle T \rangle}. \quad (1)$$

Без учета потерь энергии и ядерных взаимодействий уравнение нормальной диффузии для концентрации космических лучей с энергией  $E$ , создаваемой распределением источников с плотностью  $S(\mathbf{r}, t, E)$ , имеет вид [1]

$$\frac{\partial N}{\partial t} = D(E)\Delta N(\mathbf{r}, t, E) + S(\mathbf{r}, t, E), \quad (2)$$

где  $\Delta$  – оператор Лапласа. Функцией Грина этого уравнения является нормальное (гауссово) распределение по переменной  $|\mathbf{r}|/\sqrt{D(E)t}$ .

Работа поддержана грантами программы “Университеты России” № 02.01.001 и РФФИ № 04–02–16724.

Эксперименты последних лет, однако, убедительно показывают, что неоднородности в пространственном распределении вещества и магнитного поля, обуславливающие хаотическое движение космических лучей, наблюдаются на разных масштабах (см., например, [2–9]). Так в [4] на основании детального анализа остатков ряда сверхновых делается вывод, что сосуществование в одном остатке сверхновой газовых компонент с сильно различающимися физическими параметрами ( $T_e \sim (5 \div 10^6)K$ ,  $n_e \sim (0, 1 \div 10^3)cm^{-3}$ ) может быть понято только в рамках предположения о неоднородности невозмущенной межзвездной среды с резкими контрастами плотности. В [10, 11] сделаны оценки фрактальной размерности межзвездной галактической среды.

Нерегулярность распределения вещества и, в силу связи плотности  $\rho$  с магнитным полем  $H \propto \rho^q$ ,  $q \sim (1/2 \div 1/3)$  [5], магнитного поля Галактики по крайней мере в масштабах  $l \leq (100 \div 150)$  пк и неприменимость, строго говоря, диффузионного приближения (2) для описания распространения частиц в средах с резкими контрастами плотности [12, 13] (см. также обсуждение этого вопроса в [1]) стимулируют разработку новых моделей распространения космических лучей в межзвездной среде.

Среди возможных направлений обобщения модели (2) главным является отказ от предположения о статистически однородном распределении неоднородностей. Поскольку сегодня хорошо известно, что вследствие наличия турбулентных потоков распределение вещества и магнитного поля в Галактике имеет резко неоднородный характер фрактального типа, то естественно предположение о статистической однородно-

сти распределения неоднородностей заменить на более общее утверждение о фрактальном характере их распределения. Важным следствием этого предположения является степенное распределение пробегов частиц  $X$  в среде такого типа  $P\{X > x\} \propto x^{-\alpha}$ ,  $x \rightarrow \infty$ ,  $\alpha < 1$  (так называемые “полеты Лёви”), показатель которого определяется фрактальностью среды. Имеющиеся в настоящее время экспериментальные данные позволяют предполагать, что “полеты Лёви” могут иметь важное значение, по крайней мере, в масштабах  $r \leq 300$  пк [14].

Так как нельзя исключить и сильную запутанность силовых линий магнитного поля в неоднородностях, вследствие чего вероятность длительного пребывания частиц в них отлична от нуля, то наделение неоднородностей свойствами “ловушек” может быть следующим направлением обобщения модели. Если случайное время пребывания частиц  $T$  в “ловушках” описывается распределением  $P\{T > t\} \sim t^{-\beta}$ ,  $t \rightarrow \infty$ ,  $\beta < 1$ , то среднее время пребывания в таких ловушках, называемых нами далее “ловушками Лёви”, равно бесконечности. Понятно, что нельзя исключать из рассмотрения неоднородности, среднее время пребывания космических лучей в которых конечно.

Переход от диффузии в однородной или квазиоднородной среде к диффузии в среде фрактального типа, характеризующейся наличием пустот и сгущений на разных масштабах, приводит к необходимости включения в модель распространения “полетов Лёви” и “ловушек Лёви”. Сегодня установлено, что учет фрактальных свойств среды может быть осуществлен заменой операторов  $\partial/\partial t$  и лапласиана  $\Delta$  в уравнении нормальной диффузии операторами дробного дифференцирования по временной и пространственной переменным (см. обзоры [15–24]). Дробные операторы, отражающие наличие больших пробегов частиц в пустотах и длительное “застревание” частиц в неоднородностях–ловушках, делают процесс блуждания немарковским [23].

Именно такая модель фрактальных блужданий положена недавно в основу нового подхода к описанию распространения космических лучей в неоднородной галактической среде [25–32]. Поведение распределений свободных пробегов  $p(\mathbf{r}, E)$  и времени пребывания в неоднородностях  $q(t, E)$  частицы с кинетической энергией  $E$  при  $r \rightarrow \infty$ ,  $t \rightarrow \infty$  описывались выражениями

$$p(\mathbf{r}, E) \sim A(E, \alpha)|\mathbf{r}|^{-\alpha-1}, \quad 0 < \alpha < 2, \quad (3)$$

$$q(t, E) \sim B(E, \beta)t^{-\beta-1}, \quad 0 < \beta < 1. \quad (4)$$

Первые расчеты показали, что укрупнение спектра всех частиц в районе  $\sim 3 \cdot 10^6$  ГэВ (“излом”) можно объяснить при  $D \sim E^\delta$  и  $S \sim E^{-\gamma}$  ( $\delta$  и  $\gamma$  – константы), если предположить только степенное распределение свободных пробегов частиц (3), т.е. если включить в модель диффузии “полеты Лёви”.

В данной работе мы развиваем этот подход и формулируем основные результаты модели аномальной диффузии космических лучей для энергетического диапазона  $10^2 \div 10^{11}$  ГэВ в рамках галактической картины происхождения первичного космического излучения.

## 1. Уравнение аномальной диффузии в модели случайных блужданий Монтролла–Вейса

Уравнение аномальной диффузии может быть легко получено в рамках модели случайных блужданий с непрерывным временем STRW [33]. Этот подход использовался для формулировки и решения проблем в различных областях физики (см. последние обзоры [20, 21, 23, 24]). В модели STRW считается, что частица, испущенная источником, совершает прыжки  $R_1, R_2, \dots, R_j, \dots \in \mathbb{R}^m$  через случайные времена ожидания  $T_1, T_1 + T_2, \dots, T_1 + T_2 + \dots + T_j, \dots, T_i \in \mathbb{R}_+^1$ . Случайные величины  $R_i$  и  $T_i$  независимы и их плотности распределений  $p(x)$  и  $q(t)$  не зависят от времени и координат соответственно. Трансформанта Фурье–Лапласа распределения частиц  $p(x, t)$ ,  $x \in \mathbb{R}^m$ ,  $t \in \mathbb{R}_+^1$ ,

$$p(k, \lambda) = \int_{\mathbb{R}^m} dx \int_0^\infty dt e^{ik \cdot x - \lambda t} p(x, t), \quad k \in \mathbb{R}^m$$

выражается через трансформанту Лапласа распределения времени ожидания,

$$q(\lambda) = \int_0^\infty e^{-\lambda t} q(t) dt,$$

и Фурье–трансформанту распределения пробегов

$$p(k) = \int_{\mathbb{R}^m} e^{ik \cdot x} p(x) dx.$$

При изотропном блуждании  $p(k)$  есть функция только  $|\mathbf{k}|$ . В [33] показано, что для частицы, стартовавшей в точке  $x = 0$  в момент  $t = 0$

$$p(k, \lambda) = \frac{1 - q(\lambda)}{\lambda [1 - p(k)q(\lambda)]}. \quad (5)$$

Понятно, что если

$$\int_{\mathbb{R}^m} p(x)|x|^2 dx \equiv \langle R^2 \rangle \quad (6)$$

и

$$\int_0^\infty q(t)tdt \equiv \langle T \rangle \quad (7)$$

конечны, то центральная предельная теорема и соотношение (5) должны приводить к уравнению нормальной диффузии.

Действительно, в пределе  $r \rightarrow \infty$ ,  $t \rightarrow \infty$ , что эквивалентно  $k \rightarrow 0$ ,  $\lambda \rightarrow 0$  в соответствии с тауберовой теоремой [34], имеем

$$p(k) \propto 1 - \langle R^2/2 \rangle |k|^2, \quad k \rightarrow 0, \quad (8)$$

$$q(\lambda) \propto 1 - \langle T \rangle \lambda, \quad \lambda \rightarrow 0 \quad (9)$$

и, при  $D = \langle R^2 \rangle / (2 \langle T \rangle)$ ,

$$p(k, \lambda) \propto p^{as}(k, \lambda) = \frac{1}{\lambda + Dk^2}. \quad (10)$$

После выполнения обратного преобразования Фурье-Лапласа получаем, как решение задачи, распределение Гаусса

$$p^{as}(x, t) = (4\pi Dt)^{-m/2} \exp\{-x^2/(4Dt)\}. \quad (11)$$

Преобразования равенства

$$\lambda p^{as}(k, \lambda) = -Dk^2 p^{as}(k, \lambda) + 1,$$

полученного из (10), приводят к уравнению нормальной диффузии:

$$\frac{\partial p^{as}(x, t)}{\partial t} = D\Delta p^{as}(x, t) + \delta(x)\delta(t). \quad (12)$$

В (12)  $\delta(x)$  и  $\delta(t)$  обозначают  $m$ -мерную и одномерную дельта-функции Дирака соответственно.

Если величины (6) и (7) бесконечны, но при  $r \rightarrow \infty$  и  $t \rightarrow \infty$  выполняются соотношения

$$\int_{|x|>r} p(x)dx \propto Ar^{-\alpha}, \quad 0 < \alpha < 1, \quad (13)$$

$$\int_t^\infty q(\tau)d\tau \propto Bt^{-\beta}, \quad 0 < \beta < 1, \quad (14)$$

то, как известно, мы приходим к режиму аномальной диффузии (см. недавний обзор [23]).

При условиях (13)–(14) равенства (8)–(9) неверны. В соответствии с тауберовой теоремой асимптотические выражения (13)–(14) обеспечиваются следующими трансформантами  $p(k)$  и  $q(\lambda)$  [35]:

$$1 - p(k) \sim A'|k|^\alpha, \quad k \rightarrow 0, \quad (15)$$

$$1 - q(\lambda) \sim B'\lambda^\beta, \quad \lambda \rightarrow 0. \quad (16)$$

Здесь

$$A' = 2^{-\alpha} A \frac{\Gamma(m/2)\Gamma(1-\alpha/2)}{\Gamma((\alpha+m)/2)}, \quad (17)$$

$$B' = \Gamma(1-\beta)B. \quad (18)$$

Подставляя выражения (15)–(16) в (5), получаем

$$p^{as}(k, \lambda) = \frac{\lambda^{\beta-1}}{\lambda^\beta + D_A |k|^\alpha}, \quad (19)$$

где

$$D_A = A'/B'. \quad (20)$$

Записывая (19) в виде

$$\lambda^\beta p^{as}(k, \lambda) = -D_A |k|^\alpha p^{as}(x, t) + \lambda^{\beta-1}$$

и выполняя обратное преобразование Фурье-Лапласа, с использованием законов преобразования оператора Рисса  $(-\Delta)^{\alpha/2}$  [36],

$$\int_{\mathbb{R}^m} e^{ikx} (-\Delta)^{\alpha/2} f(x) dx = |k|^\alpha f(k), \quad (21)$$

и дробной производной Римана-Лиувилля  $D_{0+}^\beta$  [36],

$$\int_0^\infty e^{-\lambda t} D_{0+}^\beta f(t) dt = \lambda^\beta f(\lambda), \quad (22)$$

мы получаем уравнение аномальной диффузии в дробных производных [23, 24, 35]

$$D_{0+}^\beta p^{as}(x, t) = -D_A (-\Delta)^{\alpha/2} p^{as}(x, t) + \frac{t^{-\beta}}{\Gamma(1-\beta)} \delta(x). \quad (23)$$

Выполняя дробное дифференцирование порядка  $1-\beta$  обеих частей уравнения (23), окончательно приходим к уравнению

$$\frac{\partial p^{as}(x, t)}{\partial t} = -D_A D_{0+}^{1-\beta} (-\Delta)^{\alpha/2} p^{as}(x, t) + \delta(x)\delta(t). \quad (24)$$

## 2. Уравнение аномальной диффузии в модели Учайкина

Другой подход к описанию аномальной диффузии частиц был недавно предложен Учайкиным [37]. В подходе [37] блуждание частицы также представляет собой последовательную смену двух состояний: состояния покоя, обозначаемого

далее индексом (0), и состояния диффузии — (1). Времена пребывания частицы в этих состояниях считаются независимыми случайными величинами, распределения которых описываются плотностями  $q_0(\tau)$  и  $q_1(\tau)$ . Предполагается также, что среднее время  $T_1$  между выходом частицы из “ловушки Лёви” и последующим попаданием в другую такую ловушку конечно, т.е.

$$T_1 = \int_0^{\infty} \tau q_1(\tau) d\tau < \infty. \quad (25)$$

В данной работе, в отличие от [37], считается, что диффузия частицы между “ловушками Лёви” (состояние (1)) описывается плотностью вероятности  $p(x, t)$ , трансформанта Фурье которой при  $k \rightarrow 0$  имеет вид

$$p(k, t) \sim \exp(-Dk^\alpha t). \quad (26)$$

Параметр  $D$  является коэффициентом диффузии частицы между “ловушками Лёви”. Возможность такого режима диффузии между ловушками допускалась в [37].

Можно показать, что условие (26) описывает режим диффузии между “ловушками Лёви”, когда частица, совершая “полеты Лёви”, пребывает конечное время в неоднородностях, не входящих в класс “ловушек Лёви”.

В [37] показано, что пространственное распределение  $\rho_0(x, t)$  частицы в момент  $t$ , начавшей свою историю в момент  $t = 0$  с попадания в ловушку в точке  $x = 0$ , связано с пространственным распределением  $\rho_1(x, t)$  частицы, начавшей свою историю с выхода из ловушки в точке  $x = 0$ , системой интегральных уравнений

$$\rho_0(x, t) = Q_0(t)\delta(x) + \int_0^t d\tau q_0(\tau)\rho_1(x, t - \tau), \quad (27)$$

$$\rho_1(x, t) = Q_1(t)p(x, t) + \int_0^t d\tau q_1(\tau)p(x, \tau) * \rho_0(x, t - \tau). \quad (28)$$

В этих уравнениях символ (\*) означает операцию свертки по пространственным переменным,

$$p(x, \tau) * \rho_0(x, t - \tau) \equiv \int p(x', \tau) \times \rho_0(x - x', t - \tau) d^m x',$$

а

$$Q_i(t) = \int_t^{\infty} q_i(\tau) d\tau.$$

Применяя к (27)–(28) преобразование Фурье–Лапласа по координатам и времени, получаем:

$$\begin{aligned} \rho_0(k, \lambda) &= \int_0^{\infty} dt e^{-\lambda t} \int e^{-ikx} \times \\ &\times \left[ Q_0(t)\delta(x) + \int_0^t d\tau q_0(\tau)\rho_1(x, t - \tau) \right] d^m x = \\ &= Q_0(\lambda) + q_0(\lambda)\rho_1(k, \lambda), \end{aligned}$$

$$\begin{aligned} \rho_1(k, \lambda) &= \int_0^{\infty} dt e^{-\lambda t} Q_1(t)p(k, t) + \\ &+ \int_0^{\infty} dt e^{-\lambda t} \int_0^t d\tau q_1(\tau)p(k, \tau) * \rho_0(k, t - \tau) = \\ &= \int_0^{\infty} dt e^{-\lambda t} e^{-Dk^\alpha t} Q_1(t) + \\ &+ \rho_0(k, \lambda) \int_0^{\infty} d\tau q_1(\tau) e^{-(\lambda + Dk^\alpha)\tau} = \\ &= Q_1(\lambda + Dk^\alpha) + \rho_0(k, \lambda)q_1(\lambda + Dk^\alpha). \end{aligned}$$

Эта система уравнений имеет следующее решение:

$$\rho_0(k, \lambda) = \frac{Q_0(\lambda) + q_0(\lambda)Q_1(\lambda + Dk^\alpha)}{1 - q_0(\lambda)q_1(\lambda + Dk^\alpha)},$$

$$\rho_1(k, \lambda) = \frac{Q_1(\lambda + Dk^\alpha) + q_1(\lambda + Dk^\alpha)Q_0(\lambda)}{1 - q_0(\lambda)q_1(\lambda + Dk^\alpha)}.$$

В пределе  $k \rightarrow 0$ ,  $\lambda \rightarrow 0$ , когда выполняются соотношения

$$1 - q_0(\lambda) \sim B'\lambda^\beta,$$

$$1 - q_1(\lambda) \sim T_1\lambda,$$

$$Q_0(\lambda) = \frac{1 - q_0(\lambda)}{\lambda},$$

$$Q_1(\lambda) = \frac{1 - q_1(\lambda)}{\lambda} \sim T_1,$$

находим

$$\begin{aligned} \rho^{as}(k, \lambda) &= \frac{B'\lambda^{\beta-1} + (1 - B'\lambda^\beta)T_1}{1 - (1 - B'\lambda^\beta)(1 - T_1(\lambda + Dk^\alpha))} \approx \\ &\approx \frac{\lambda^{\beta-1}}{D_A k^\alpha + \lambda^\beta}, \quad (29) \end{aligned}$$

где  $D_A = DT_1/B'$ .

Обратное преобразование Фурье–Лапласа выражения (29), совпадающего с (19), снова приводит к уравнению аномальной диффузии (24).

Новым элементом кинетики аномальной диффузии, полученным в изложенном выше выводе, является утверждение о том, что при диффузии частицы в среде с “ловушками Лёви” включение дополнительного изотропного рассеяния на неоднородностях, не входящих в класс “ловушек Лёви”, с “полетами Лёви” между ними не влияет на пространственное положение диффундирующей частицы при  $x \rightarrow \infty$ ,  $t \rightarrow \infty$ .

### 3. Функция Грина уравнения аномальной диффузии космических лучей

Применим, теперь, рассмотренный выше скачкообразный случайный процесс, включающий “полеты Лёви” и пребывание в “ловушках Лёви”, для описания диффузии космических лучей в галактической среде фрактального типа. Будем считать, что распределения свободных пробегов  $p(\mathbf{r}, R)$  и времени пребывания в неоднородностях  $q(t, R)$  частицы с импульсом  $p$  и зарядом  $Z$  при  $r \rightarrow \infty$ ,  $t \rightarrow \infty$  описываются выражениями

$$p(\mathbf{r}, R) \sim A(R, \alpha)|\mathbf{r}|^{-\alpha-1}, \quad 0 < \alpha < 1, \quad (30)$$

$$q(t, R) \sim B(R, \beta)t^{-\beta-1}, \quad 0 < \beta < 1, \quad (31)$$

где  $R = pc/Z$  – жесткость частицы. При  $E \gg mc^2$  имеем  $R \approx (E/Z)$ . Будем также пренебрегать потерями энергии и ядерными взаимодействиями частиц.

Повторяя выкладки предыдущего раздела при условиях (30)–(31), приходим к следующему уравнению для функции Грина:

$$\frac{\partial G}{\partial t} = -D(R, \alpha, \beta)D_{0+}^{1-\beta}(-\Delta)^{\alpha/2} \times G(\mathbf{r}, t, R; R_0) + \delta(\mathbf{r})\delta(t)\delta(R - R_0). \quad (32)$$

Коэффициент аномальной диффузии  $D(R, \alpha, \beta)$  определяется константами  $A(R, \alpha)$  и  $B(R, \beta)$  распределений (30)–(31):

$$D(R, \alpha, \beta) \sim A(R, \alpha)/B(R, \beta).$$

Полагая  $A \sim R^{\delta_L}$ ,  $B \sim R^{-\delta_T}$  и обозначая  $\delta = \delta_L + \delta_T$ , будем записывать коэффициент диффузии в виде

$$D(R, \alpha, \beta) = \frac{v}{c}D_0(\alpha, \beta)(R/1\Gamma\varepsilon B)^\delta, \quad (33)$$

где  $v$  – скорость частицы. Отметим, что далее в промежуточных расчетах, для упрощения записи, будем вместо  $(R/1\Gamma\varepsilon B)$  писать  $R$ .

Решение (32) находим с использованием преобразований Фурье–Лапласа:

$$\int_{\mathbb{R}^3} e^{i\mathbf{k}\mathbf{r}} G(\mathbf{r}, t, R; R_0) d\mathbf{r} = \tilde{G}(\mathbf{k}, t, R; R_0),$$

$$\int_0^\infty e^{-\lambda t} G(\mathbf{r}, t, R; R_0) dt = \tilde{G}(\mathbf{r}, \lambda, R; R_0).$$

С учетом (21)–(22), из (32) для трансформанты  $\tilde{G}(\mathbf{k}, \lambda, R; R_0)$  имеем

$$\begin{aligned} \tilde{G}(\mathbf{k}, \lambda, R; R_0) &= \frac{\lambda^{\beta-1}\delta(R - R_0)}{\lambda^\beta + D|k|^\alpha} = \\ &= \frac{\delta(R - R_0)}{\lambda^{1-\beta}} \int_0^\infty \exp\{-[\lambda^\beta + D|k|^\alpha]y\} dy. \quad (34) \end{aligned}$$

Выполняя обратное преобразование Лапласа выражения (34)

$$\begin{aligned} \tilde{G}(\mathbf{k}, \lambda, R; R_0) &= \delta(R - R_0) \times \\ &\times \int_0^\infty dy \exp\{-D|k|^\alpha y\} \times \\ &\times \left[ (2\pi i)^{-1} \int_L d\lambda \lambda^{\beta-1} \exp\{\lambda t - \lambda^\beta y\} \right], \end{aligned}$$

с использованием равенства

$$\begin{aligned} \int_L d\lambda \lambda^{\beta-1} \exp\{\lambda t - \lambda^\beta y\} &= \\ &= -(\beta y)^{-1} \int_L \exp\{\lambda t\} d \exp\{-\lambda^\beta y\} = \\ &= -t(\beta y)^{-1} \int_L d\lambda \exp\{\lambda t - \lambda^\beta y\}, \end{aligned}$$

полученного интегрированием по частям, и замены переменной  $s = y^{1/\beta}\lambda$ , находим

$$\begin{aligned} \tilde{G}(\mathbf{k}, t, R; R_0) &= \delta(R - R_0)\beta^{-1}t \times \\ &\times \int_0^\infty dy \exp\{-D|k|^\alpha y\} y^{-1-1/\beta} \times \\ &\times \left[ 2\pi i^{-1} \int_S ds \exp\{s y^{-1/\beta} t - s^\beta\} \right]. \quad (35) \end{aligned}$$

Поскольку в квадратных скобках стоит одностороннее устойчивое распределение

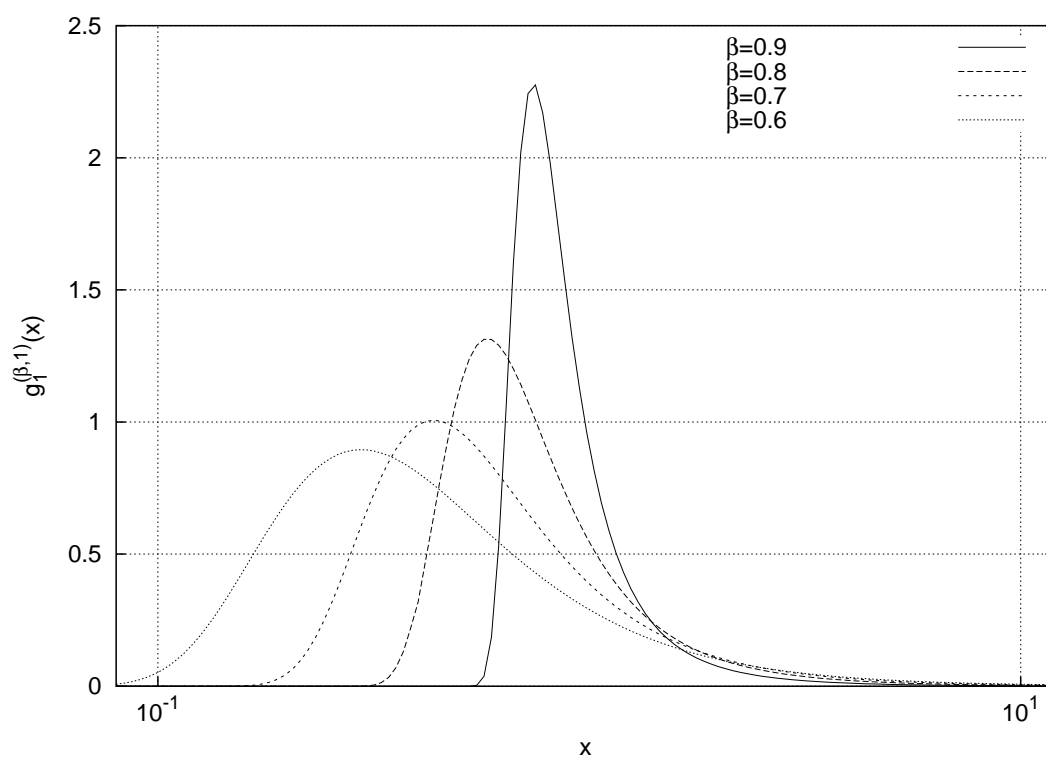


Рис. 1. Плотность вероятности одностороннего одномерного устойчивого распределения при различных значениях характеристического показателя  $\beta$

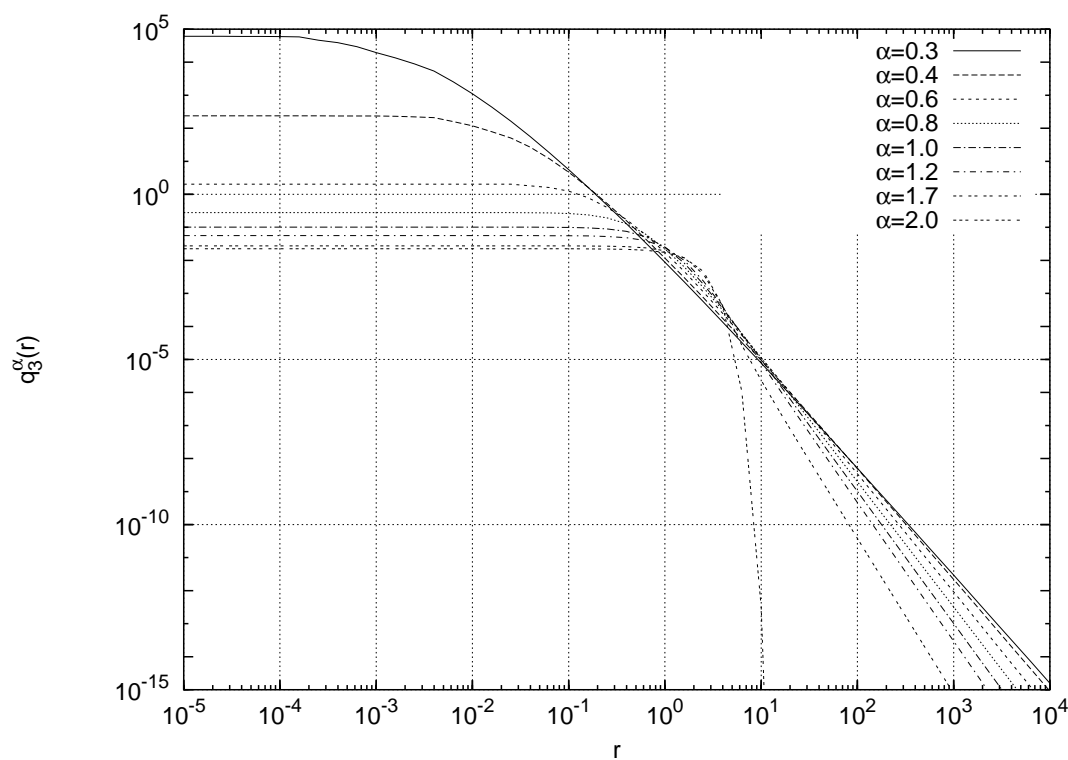


Рис. 2. Зависимость плотности вероятности трехмерного сферически-симметричного устойчивого распределения от радиальной переменной при различных значениях характеристического показателя  $\alpha$

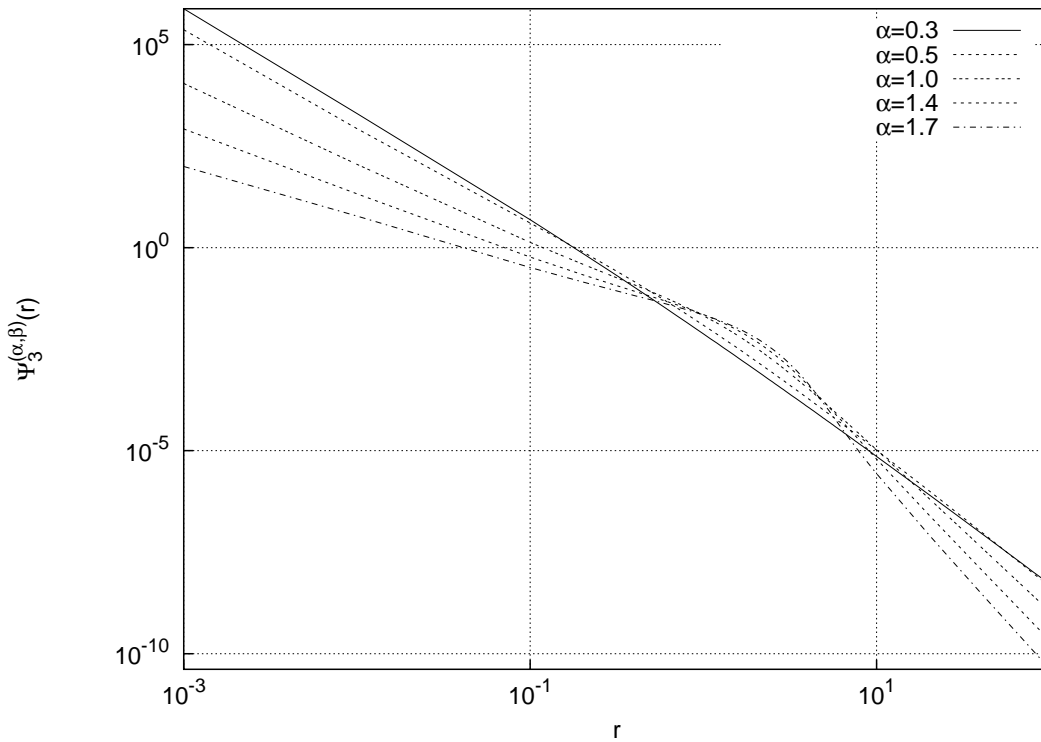


Рис. 3. Плотность дробно–устойчивого распределения  $\Psi_3^{(\alpha, \beta)}(r)$  при различных значениях характеристического показателя  $\alpha$  и  $\beta = 0,8$

$g_1^{\beta, 1}(ty^{-1/\beta})$  [38], то (35) можно представить в виде

$$\tilde{G}(\mathbf{k}, t, R; R_0) = \delta(R - R_0) \int_0^\infty d\tau g_1^{(\beta, 1)}(\tau) \times \exp\{-D|k|^\alpha t^\beta / \tau^\beta\}.$$

Принимая во внимание, что  $\exp\{-k^\alpha\}$  есть трансформанта Фурье сферически-симметричного устойчивого распределения  $g_3^{(\alpha)}(r)$  [20], окончательно получаем

$$G(\mathbf{r}, t, R; R_0) = \delta(R - R_0) (Dt^\beta)^{-3/\alpha} \times \Psi_3^{(\alpha, \beta)}(|\mathbf{r}| (Dt^\beta)^{-1/\alpha}). \quad (36)$$

Здесь

$$\Psi_3^{(\alpha, \beta)}(r) = \int_0^\infty g_3^{(\alpha)}(r\tau^{\beta/\alpha}) g_1^{(\beta, 1)}(\tau) \tau^{3\beta/\alpha} d\tau \quad (37)$$

есть плотность дробно–устойчивого распределения [23], определяемая трехмерным сферически-симметричным устойчивым распределением  $g_3^{(\alpha)}(r)$  ( $\alpha \leq 2$ ) и одномерным односторонним устойчивым распределением  $g_1^{(\beta, 1)}(t)$  с характеристическим параметром  $\beta \leq 1$ . Основные

особенности этого класса распределений, введенного недавно Учайкиным и Королевым, подробно описаны в [23].

Следует отметить, что плотности  $g_1^{(\beta, 1)}(t)$  и  $g_3^{(\alpha)}(r)$  выражаются через элементарные функции в очень небольшом числе случаев (см. [20, 23]). Так при  $\beta = 1/2$  односторонняя плотность

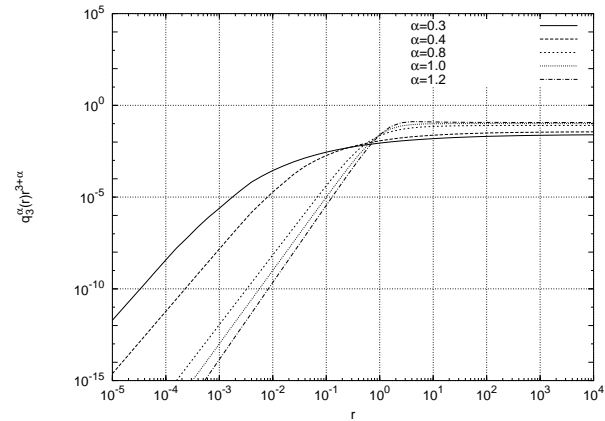


Рис. 4. Асимптотика  $r^{-3-\alpha}$  плотности вероятности трехмерного сферически-симметричного устойчивого распределения при  $r \rightarrow \infty$



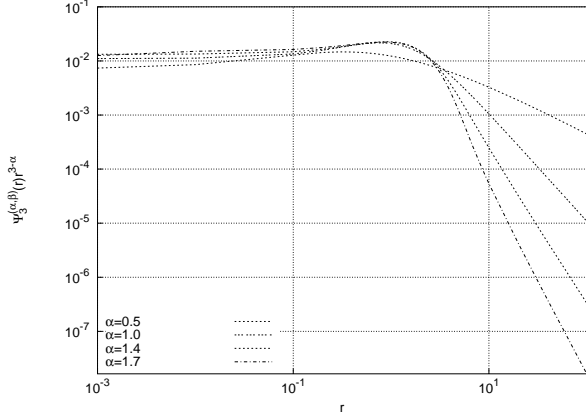


Рис. 5. Асимптотика  $\sim r^{-3+\alpha}$  плотности дробно-устойчивого распределения  $\Psi_3^{(\alpha, \beta)}(r)$  при  $r \rightarrow 0$  при различных значениях характеристического показателя  $\alpha$  и  $\beta = 0, 8$

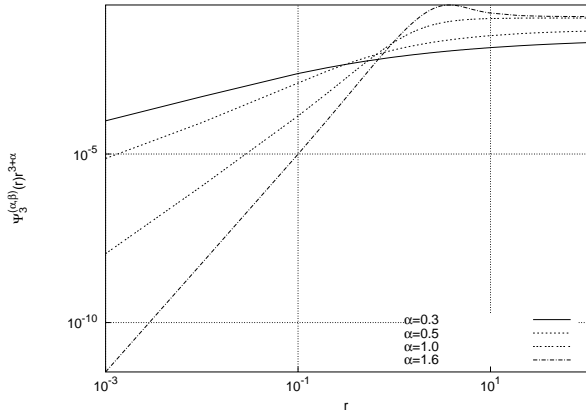


Рис. 6. Асимптотика  $\sim r^{-3-\alpha}$  плотности дробно-устойчивого распределения  $\Psi_3^{(\alpha, \beta)}(r)$  при  $r \rightarrow \infty$  при различных значениях характеристического показателя  $\alpha$  и  $\beta = 0, 8$

есть распределение Леви-Смирнова,

$$g_1^{(1/2, 1)}(t) = \frac{1}{2\sqrt{\pi t^3}} \exp -1/(4t),$$

а при  $\beta = 1$  — дельта-функция Дирака:

$$g_1^{(1, 1)}(t) = \delta(t - 1). \quad (38)$$

Трехмерное сферически-симметричное распределение  $g_3^{(2)}(r)$  есть нормальное (гауссово) распределение, а  $g_3^{(1)}(r) = [\pi(1+r^2)]^{-2}$  — распределение Коши. При  $\beta = 1$ , как видно из (37) и (38), справедливо равенство

$$\Psi_3^{(\alpha, 1)}(r) = g_3^{(\alpha)}(r).$$

Понятно, что отсутствие представлений устойчивых распределений в классе элементарных

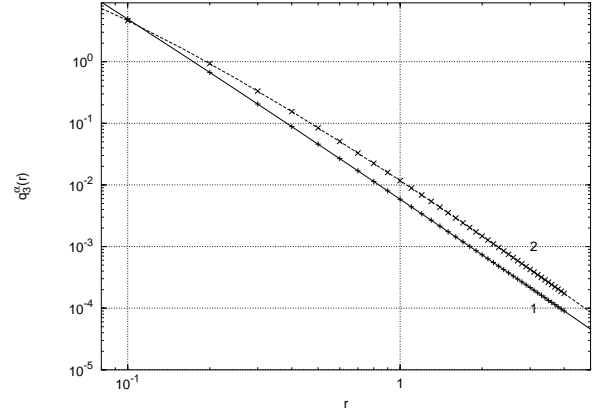


Рис. 7. Сопоставление плотностей вероятности трехмерных сферически-симметричных устойчивых распределений, полученных в данной работе (линии), с результатами [20] (символы  $\times, +$ ). 1 —  $\alpha = 0, 2$ ; 2 —  $\alpha = 0, 4$

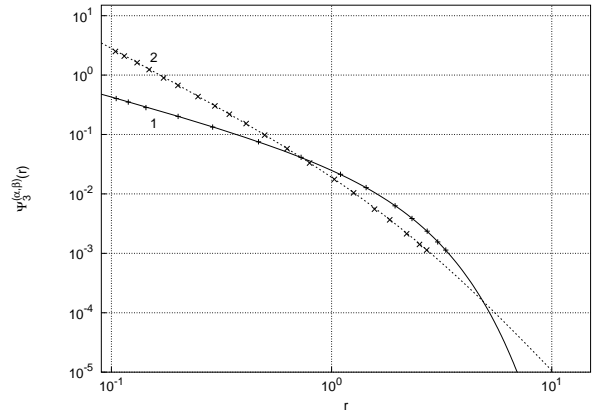


Рис. 8. Сопоставление дробно-устойчивых распределений  $\Psi_3^{(\alpha, \beta)}(r)$ , полученных в данной работе (линии), с результатами [24] (символы  $\times, +$ ). 1 —  $\alpha = 2, \beta = 0, 5$ ; 2 —  $\alpha = 1, \beta = 0, 5$

функций затрудняют их использование при решении физических задач. Вместе с тем, имеющиеся выражения для устойчивых распределений в виде сходящихся и асимптотических рядов и интегралов [20, 38] позволяют вычислять  $g_1^{(\beta, 1)}(t)$ ,  $g_3^{(\alpha)}(r)$  в случаях, отличных от представленных выше. Примеры поведения  $g_1^{(\beta, 1)}(t)$ ,  $g_3^{(\alpha)}(r)$  и  $\Psi_3^{(\alpha, \beta)}(r)$  при некоторых значениях характеристических показателей  $\alpha, \beta$  показаны на рис. 1–6. Сопоставление результатов наших расчетов с данными [20, 24] демонстрируют рис. 7, 8.



#### 4. Решение уравнения аномальной диффузии космических лучей

В случае источников, описываемых плотностью  $S(\mathbf{r}, t, R)$ , из (32) получаем обобщённое уравнение аномальной диффузии для концентрации космических лучей вида

$$\frac{\partial N}{\partial t} = -D(R, \alpha, \beta) D_{0+}^{1-\beta} (-\Delta)^{\alpha/2} N(\mathbf{r}, t, R) + S(\mathbf{r}, t, R). \quad (39)$$

При  $\alpha = 2, \beta = 1$  это уравнение совпадает с уравнением нормальной диффузии (2). При  $\alpha < 2, \beta = 1$  получаем уравнение супердиффузии космических лучей

$$\frac{\partial N(\mathbf{r}, t, R)}{\partial t} = -D(R, \alpha) (-\Delta)^{\alpha/2} N + S(\mathbf{r}, t, R),$$

которое впервые исследовалось в [25, 26]. Анализ решения этого уравнения при степенном спектре генерации частиц позволил установить, что в этой модели спектр космических лучей имеет излом.

При  $\alpha = 2, \beta < 1$  из (39) получаем уравнение, описывающее субдиффузионный режим

$$\frac{\partial N}{\partial t} = D(R, \beta) D_{0+}^{1-\beta} \Delta N(\mathbf{r}, t, R) + S(\mathbf{r}, t, R).$$

Этот режим распространения космических лучей, как промежуточная асимптотика, впервые обсуждался в [39].

Функция Грина (36) позволяет найти решения уравнения аномальной диффузии (39) для источников, представляющих интерес с астрофизической точки зрения.

В случае точечного мгновенного источника со степенным по жесткости спектром инжекции частиц

$$S(\mathbf{r}, t, R) = S_M R^{-\gamma} \delta(\mathbf{r}) \delta(t),$$

часто используемого в оценках потоков космических лучей, имеем

$$N(\mathbf{r}, t, R) = S_M R^{-\gamma} (D(R, \alpha, \beta) t^\beta)^{-3/\alpha} \times \Psi_3^{(\alpha, \beta)} \left( r (D(R, \alpha, \beta) t^\beta)^{-1/\alpha} \right). \quad (40)$$

Для точечного импульсного источника

$$S(\mathbf{r}, t, R) = S_M R^{-\gamma} \delta(\mathbf{r}) H(T - t) H(t),$$

$$H(x) = \begin{cases} 1, & x > 0, \\ 0, & x < 0, \end{cases}$$

моделирующего спектр частиц, ускоренных в астрофизических объектах, решение имеет вид

$$N(\mathbf{r}, t, R) = \frac{S_M R^{-\gamma}}{D(R, \alpha, \beta)^{3/\alpha}} \int_{\max[0, t-T]}^t d\tau \tau^{-3\beta/\alpha} \times \Psi_3^{(\alpha, \beta)} \left( r (D(R, \alpha, \beta) \tau^\beta)^{-1/\alpha} \right). \quad (41)$$

#### 5. Оценка параметров модели аномальной диффузии

В наших предыдущих работах [25–30, 32] было показано, что в модели аномальной диффузии энергетический спектр космических лучей имеет излом. Эта особенность полученного решения, которую легко увидеть из анализа зависимости концентрации частиц  $N(\mathbf{r}, t, E)$  от энергии, позволяет определить ряд параметров модели.

Поскольку плотность дробно-устойчивого распределения  $\Psi_3^{(\alpha, \beta)}(r)$  ( $\alpha < 2, \beta < 1$ ) при  $r \rightarrow 0$  и  $r \rightarrow \infty$  имеет, как видно из рис 5, 6, асимптотику степенного вида,

$$\Psi_3^{(\alpha, \beta)}(r) \propto r^{-(3-\alpha)}, \quad r \rightarrow 0,$$

$$\Psi_3^{(\alpha, \beta)}(r) \propto r^{-3-\alpha}, \quad r \rightarrow \infty,$$

из (40), при условии (33), для показателя  $\eta$  энергетического спектра  $N = N_0 E^{-\eta}$  получаем

$$\eta = \gamma - \delta, \quad E \ll E_k, \quad (42)$$

$$\eta = \gamma + \delta, \quad E \gg E_k. \quad (43)$$

Здесь  $E_k$  — энергия, при которой показатель спектра наблюдаемых частиц  $\eta(E_k)$  равен показателю спектра генерации  $\gamma$  частиц в источнике. Из этих равенств следует, что с ростом энергии происходит укрупнение спектра на  $\Delta\eta = 2\delta$ .

Если считать, что  $E_k$  соответствует энергии излома наблюдаемого спектра, т.е.  $E_k \approx 3 \cdot 10^6$  ГэВ, то соотношения (42), (43) позволяют по экспериментальным данным о поведении спектра при  $E \ll E_k$  и  $E \gg E_k$  найти показатель  $\gamma$  спектра частиц в источнике и показатель  $\delta$  зависимости коэффициента аномальной диффузии от энергии. Полагая в соответствии с [40], что  $\eta_{E \ll E_k} = 2,62 \pm 0,12$ ,  $\eta_{E \gg E_k} = 3,16 \pm 0,08$ ,  $\Delta\eta = 0,54$ , находим

$$\gamma = 2,89 \pm 0,14, \quad \delta = 0,27.$$

Если использовать значение показателя спектра ядер железа при  $E \ll E_k$ , равный 2,59 [41], то при  $\delta = 0,27$  для показателя спектра инжекции

частиц в источнике получаем  $p \approx 2,86$ . Учитывая эти оценки, в данной работе принимается, что

$$\gamma = 2,85, \quad \delta = 0,27. \quad (44)$$

Важными параметрами модели являются показатели  $\alpha, \beta$  распределений свободных пробегов частицы (30) и времени пребывания в неоднородностях (31). Основываясь на результатах работ [42, 43], в которых показано, что для сред с фрактальной размерностью  $1 < D_F < 2$

$$\alpha \approx 2 - D_F,$$

для галактической среды с  $D_F = 1,7$  [11] находим  $\alpha = 0,3$ . Показатель  $\beta$  полагаем, как и в [30], равным 0,8.

Еще один важный параметр модели — коэффициент аномальной диффузии  $D_0$  — можно оценить, сопоставив точку излома наблюдаемого спектра космических лучей с точкой “излома” дробно-устойчивых распределений  $\Psi_3^{(\alpha, \beta)}(r)$ . Поскольку излом  $\Psi_3^{(\alpha, \beta)}(r)$  наблюдается при  $r \approx 2,3$ , получаем

$$r(D_0 E_k^\delta t^\beta)^{-1/\alpha} \approx 2,3. \quad (45)$$

Считая, что в формировании излома в энергетическом спектре участвуют и близкие источники, при  $r \approx 10^2$  пк,  $t \approx 10^5$  лет находим

$$D_0 \approx (3 \div 5) \cdot 10^{-6} (\text{пк}^{0,3} / \text{год}^{0,8}). \quad (46)$$

При таком  $D_0$  и установленных выше параметрах  $\delta, \alpha, \beta$  существует однозначная связь между  $r$  и  $t$  источников, обеспечивающих наблюдаемый излом спектра при  $E_k \approx 3 \cdot 10^6$  ГэВ (см. рис. 9).

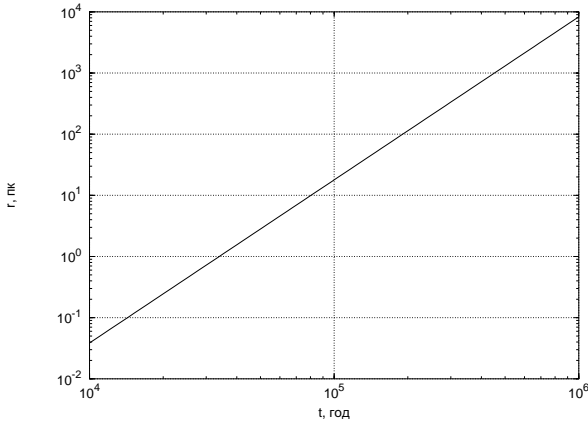


Рис. 9. Параметры  $r$  и  $t$  для источников, имеющих в представленной модели излом наблюдаемого спектра при  $E_k \approx 3 \cdot 10^6$  ГэВ

## 6. Энергетический спектр и массовый состав космических лучей

Физические аргументы [1, 2] и расчеты показывают, что основной вклад в наблюдаемый поток космических лучей в области энергий  $1 \div 10$  ГэВ дают многочисленные далекие ( $r \geq 1$  кпк) старые ( $t \geq 10^6$  лет) источники. Оценку вклада этих источников принято проводить в стационарном приближении [2].

Выполненные ранее расчеты [47] показали, что в среде фрактального типа спектр частиц от стационарного источника имеет степенной вид, причем показатель спектра  $\eta \approx \gamma + \frac{\delta}{\beta}$ . Учитывая этот результат, в данной работе интенсивность частиц типа  $i$  от всех далеких источников представляется в виде

$$J_G^i(r > 1 \text{ кпк}) = \frac{v_i}{c} C_{0i} E^{-p-\delta/\beta}. \quad (47)$$

Согласованное описание основных закономерностей спектров основных групп ядер и спектра всех частиц, как показали расчеты [27, 32], может быть получено в рамках гипотезы об определяющем вкладе близких ( $r \leq 1$  кпк) относительно молодых ( $t < 10^6$  лет) источников в поведение спектра в области высоких энергий  $E \geq 10^3$  ГэВ и формирование излома. Вклад близких источников в интенсивность частиц типа  $i$  будем записывать в виде

$$J_L^i(r < 1 \text{ кпк}) = \frac{v_i}{4\pi} \sum_{(r \leq 1 \text{ кпк})}^j N(\vec{r}_j, t_j, E). \quad (48)$$

Пространственно-временные координаты учитываемых в расчетах ближайших источников, рассматриваемых в работе как импульсные источники с  $T \sim 10^4$  лет, приведены в [48].

Следует отметить, что важная роль близких источников в формировании спектров космических лучей отмечалась в работах [49, 50].

Деление потока наблюдаемых частиц на две диффузионные компоненты с различными свойствами часто используется при расчете спектров космических лучей. Однако, наличие больших свободных пробегов частиц (“полеты Лёви”) в модели аномальной диффузии приводит к необходимости ввести третью компоненту. Эта компонента формируется частицами от близких источников, которые достигают Солнечную систему без рассеяния. Интенсивность нерассеянного излучения определяется спектром инжекции частиц в источнике ( $\sim S_0 E^{-\gamma}$ ) и вероятностью “полета Лёви”  $p(E, > r)$ . Принимая во внимание, что

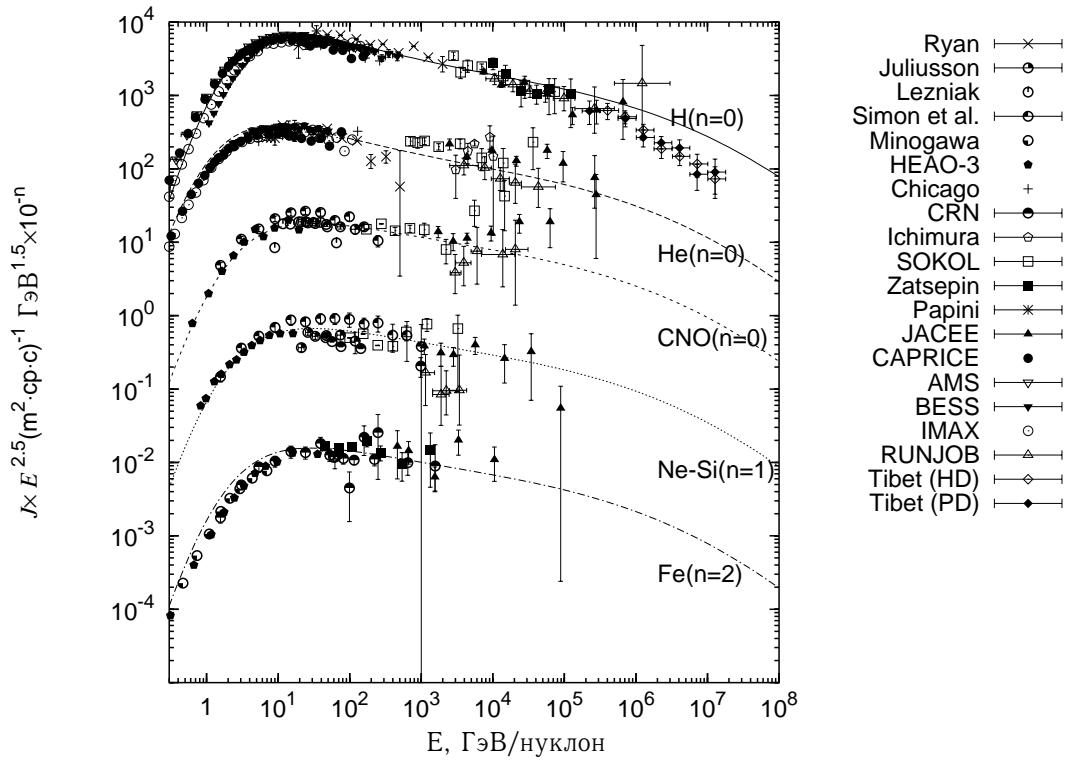


Рис. 10. Сопоставление спектров ядер, полученных в модели аномальной диффузии, с экспериментальными данными из [32]

Таблица 1

**Массовый состав космических лучей в модели аномальной диффузии**

E, ГэВ/част.	H	He	CNO	Ne-Si	Fe	$\langle \ln A \rangle$	$\langle A \rangle$
$10^2$	0.50	0.31	0.11	0.06	0.02	0.99	5.77
$3 \cdot 10^2$	0.41	0.28	0.15	0.11	0.06	1.34	9.27
$10^3$	0.36	0.26	0.16	0.13	0.09	1.56	11.71
$3 \cdot 10^3$	0.34	0.25	0.17	0.14	0.10	1.65	12.88
$10^4$	0.33	0.25	0.17	0.14	0.11	1.69	13.36
$3 \cdot 10^4$	0.32	0.24	0.17	0.15	0.11	1.71	13.58
$10^5$	0.32	0.24	0.17	0.15	0.12	1.74	13.80
$3 \cdot 10^5$	0.31	0.24	0.18	0.15	0.12	1.78	14.21
$10^6$	0.29	0.24	0.19	0.16	0.13	1.85	14.90
$3 \cdot 10^6$	0.27	0.23	0.19	0.17	0.14	1.93	15.86
$10^7$	0.24	0.22	0.20	0.18	0.16	2.04	17.07
$3 \cdot 10^7$	0.21	0.21	0.21	0.20	0.18	2.17	18.58
$10^8$	0.19	0.19	0.21	0.21	0.20	2.30	20.26
$3 \cdot 10^8$	0.16	0.17	0.21	0.22	0.23	2.43	21.97
$10^9$	0.15	0.16	0.21	0.23	0.25	2.50	23.14
$3 \cdot 10^9$	0.15	0.16	0.21	0.23	0.26	2.53	23.62
$10^{10}$	0.17	0.16	0.20	0.22	0.25	2.45	22.90
$3 \cdot 10^{10}$	0.32	0.16	0.16	0.17	0.19	1.94	17.89
$10^{11}$	0.41	0.16	0.14	0.14	0.15	1.64	14.85

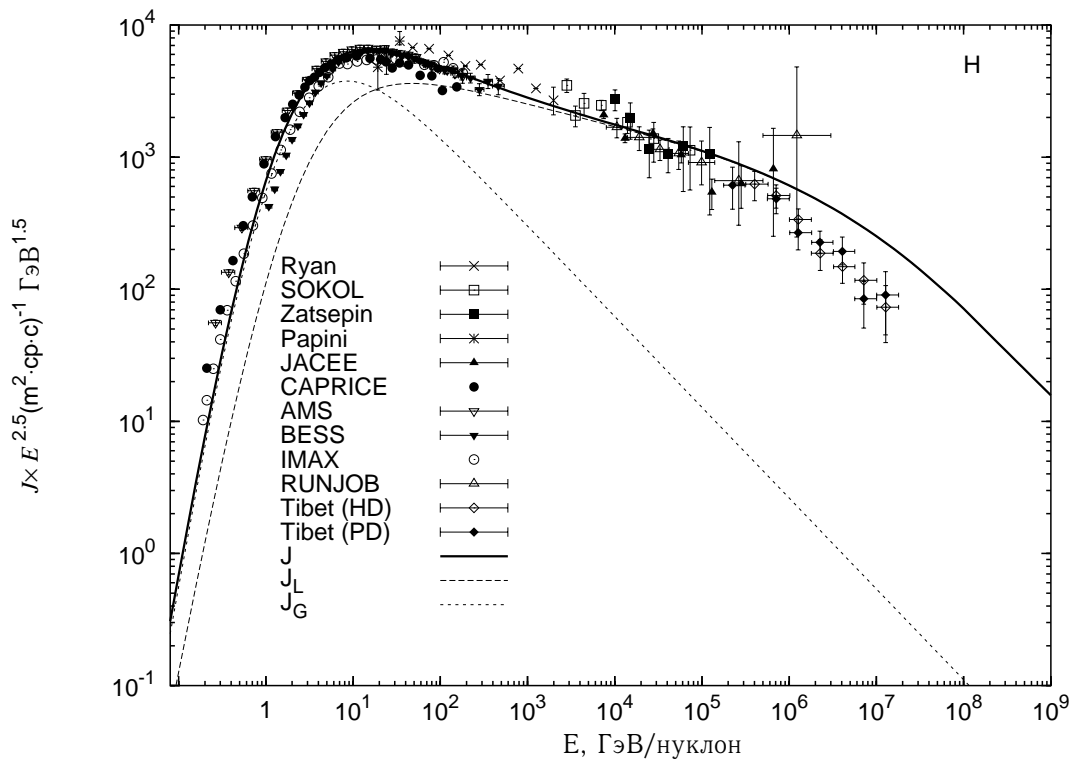


Рис. 11. Вклад далеких  $J_G$  и близких  $J_L$  источников в наблюдаемый спектр протонов  $J$ . Экспериментальные данные — из [32]

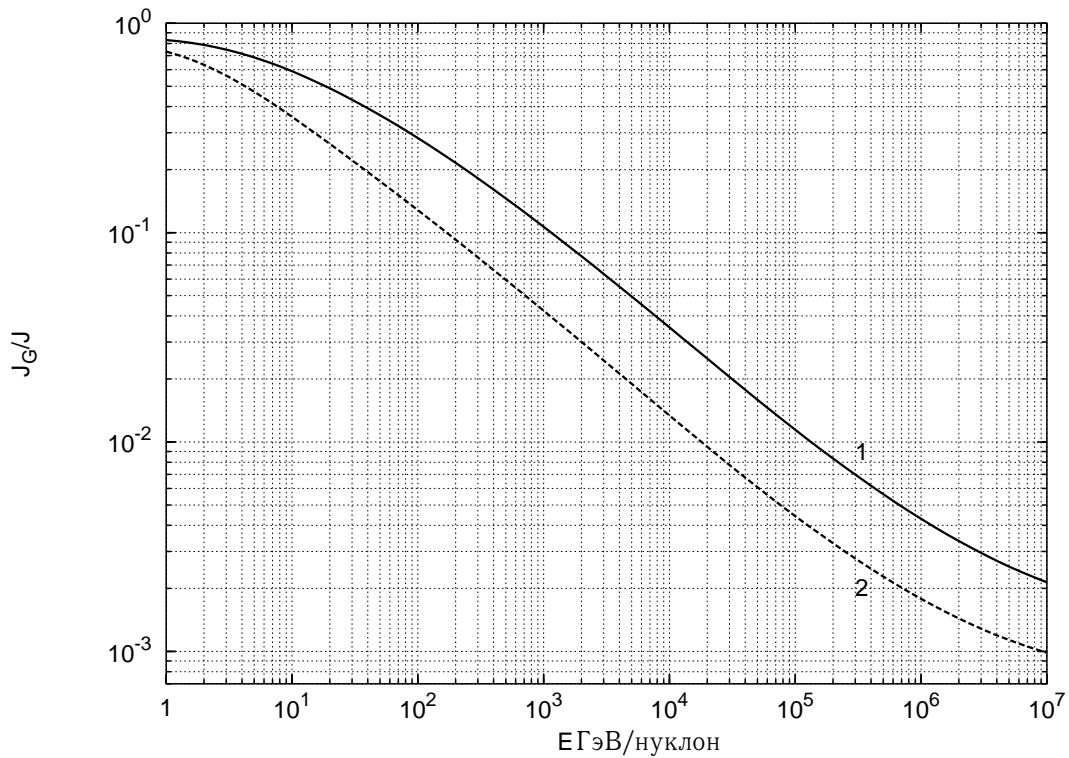


Рис. 12. Относительный вклад далеких ( $r \geq 1$  кпк,  $t \geq 10^6$  лет) источников  $J_G^i$  в наблюдаемый спектр протонов (1) и ядер гелия (2)

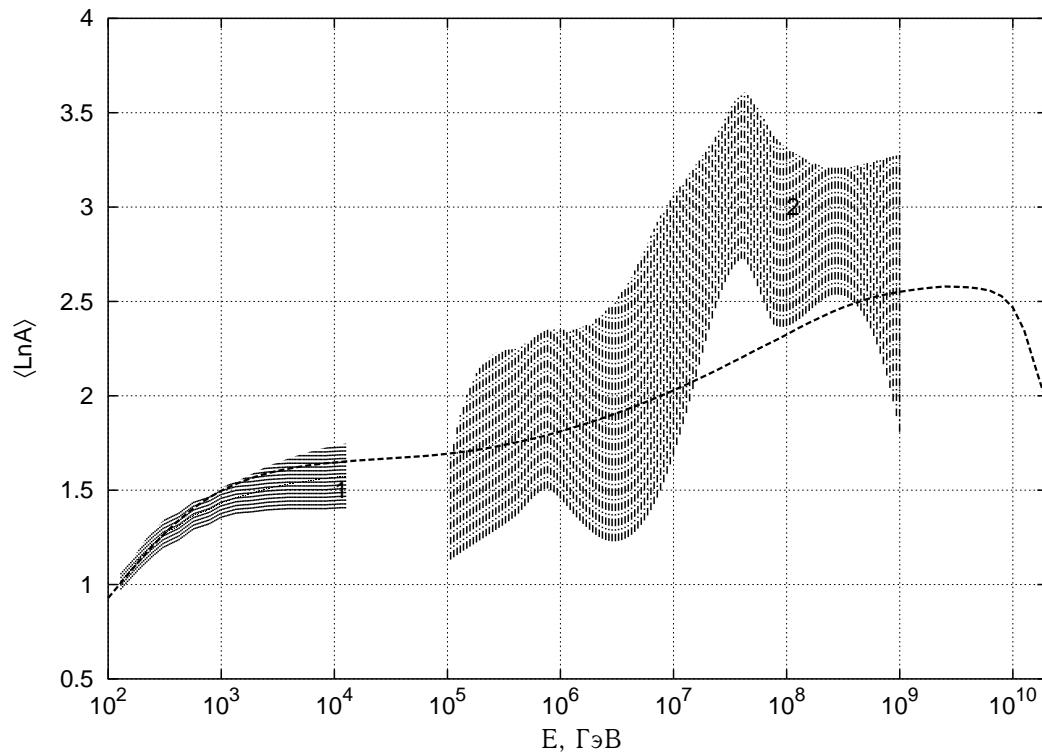


Рис. 13. Зависимость среднего логарифма массового числа космических лучей от энергии первичной частицы. Заштрихованные области — данные измерений: 1— [44], 2— [41]

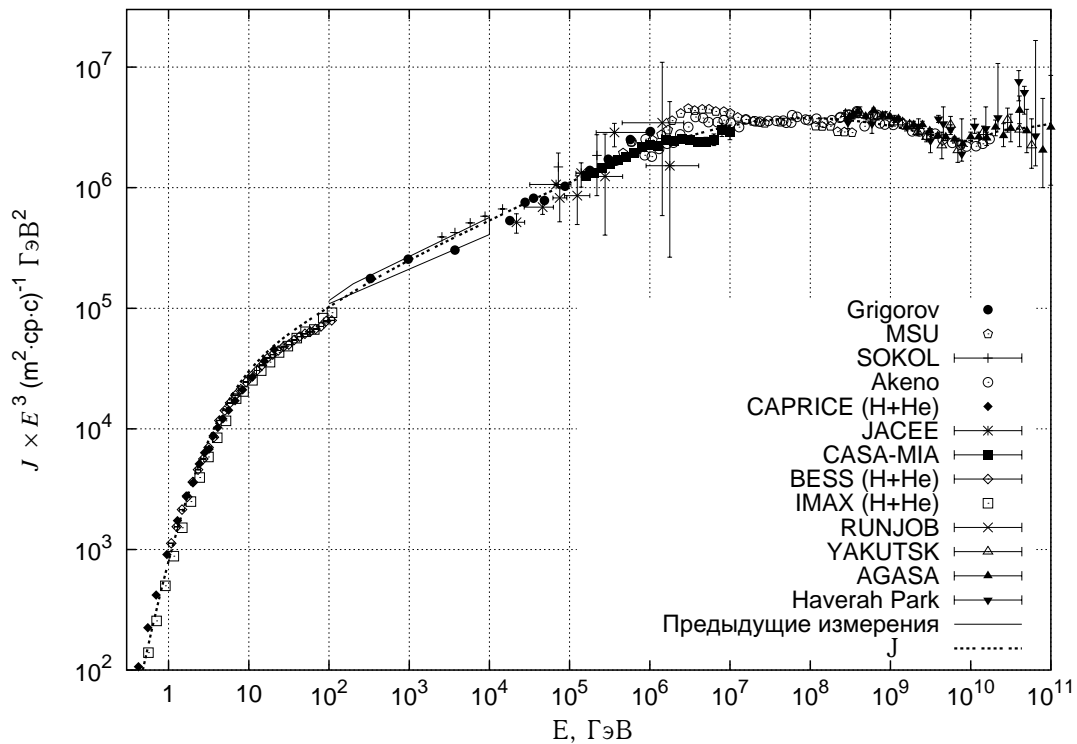


Рис. 14. Сопоставление спектра всех частиц, полученного в модели аномальной диффузии, с экспериментальными данными из [32]

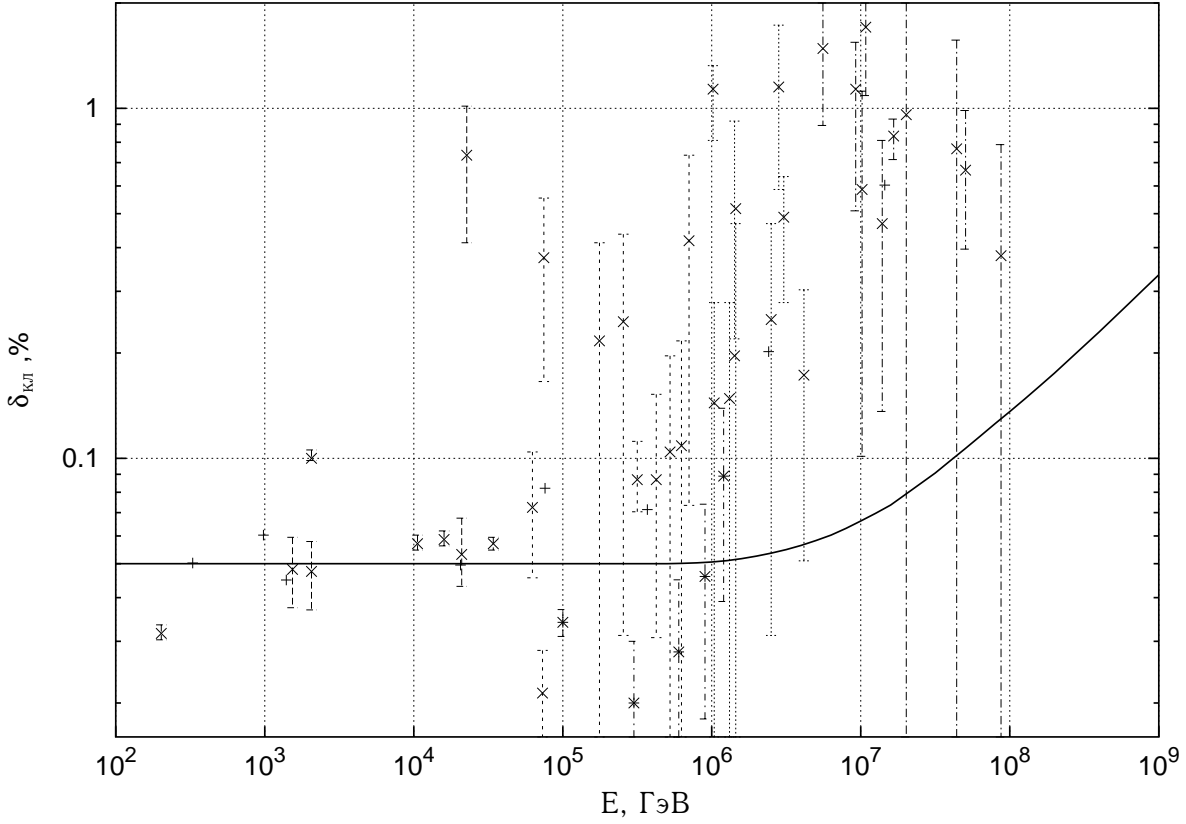


Рис. 15. Зависимость анизотропии космических лучей от энергии. Сплошная кривая — наш расчет в модели аномальной диффузии, символы (+, ×, \*) — [2, 45, 46]

$p(E, > r) \sim A(E, \alpha)r^{-\alpha} \sim E^{\delta_L}/r^\alpha$ , вклад нерас-  
сеянного излучения в интенсивность будем опи-  
сывать выражением

$$J_{NS}^i = C_{1i}E^{-\gamma+\delta_L}. \quad (49)$$

В рамках галактической картины происхождения  
космических лучей эта компонента, определяю-  
щая по нашему предположению поведение спек-  
тра в области сверхвысоких энергий, приводит к  
уполаживанию спектра при  $E \geq 6 \cdot 10^9$  ГэВ.

Принятое, таким образом, в данной работе  
представление спектра частиц типа  $i$  имеет вид

$$J_i(E) = \frac{v_i}{c} C_{0i} E^{-p-\delta/\beta} + \frac{v_i}{4\pi} \sum_{j \substack{r \leq 1 \text{ kpc}}} N(r_j^{\vec{r}}, t_j, E) + C_{1i} E^{-p+\delta_L}. \quad (50)$$

Коэффициенты  $C_{0i}$ ,  $C_{1i}$  определяются из экспери-  
ментальных данных.

Для учета солнечной модуляции используется

модель [51]

$$J_i^{mod}(E_N) = \frac{E_N^2 + 2m_p c^2 E_N}{(E_N + \Phi)^2 + 2m_p c^2 (E_N + \Phi)} \times J_i(E_N + \Phi), \quad (51)$$

где  $E_N = E/A$  — кинетическая энергия на один  
нуклон,  $m_p$  — масса протона, а потенциал  $\Phi =$   
750 МэВ [52, 53].

Результаты наших расчетов спектров основных  
групп ядер (H, He, CNO, Ne-Si, Fe), вклада да-  
леких источников, спектра всех частиц, а также  
массового состава космических лучей в предпо-  
ложении галактического происхождения частиц  
приведены на рис 10-14 и в табл. 1.

## 7. Анизотропия космических лучей в модели аномальной диффузии

Проведем оценки анизотропии космических  
лучей в рассматриваемой модели аномальной  
диффузии. Следуя [2, 54], определим анизотро-  
пию следующим образом:

$$\delta_{кл} = \frac{3}{c\langle N \rangle} |j_r|. \quad (52)$$

Здесь  $j_r$  — радиальная компонента тока частиц, а  $\langle N \rangle$  — средняя концентрация частиц в Галактике. Поскольку уравнение аномальной диффузии (39) может быть представлено в виде системы двух уравнений

$$\frac{\partial N}{\partial t} = -\text{div} \mathbf{j}, \quad (53)$$

$$\text{div} \mathbf{j} = D(R, \alpha, \beta) D_{0+}^{1-\beta} (-\Delta)^{\alpha/2} N(\mathbf{r}, t, R), \quad (54)$$

в которой первое уравнение — уравнение непрерывности, а второе задает в неявной форме обобщенный закон Фика [23], то для тока  $j_r$  имеем

$$\begin{aligned} |j_r| &= \left| \frac{1}{r^2} \int_r^\infty \frac{\partial N(r', t, R)}{\partial t} r'^2 dr' \right| = \\ &= \frac{S_0' R^{-\gamma}}{r^2 D(R, \alpha, \beta)^{3/\alpha}} \times \\ &\times \left[ t^{-3\beta/\alpha} \int_r^\infty dr' r'^2 \Psi_3^{(\alpha, \beta)}(r'(Dt^\beta)^{-1/\alpha}) - \right. \\ &\quad \left. - (t-T)^{-3\beta/\alpha} \times \right. \\ &\quad \left. \times \int_r^\infty dr' r'^2 \Psi_3^{(\alpha, \beta)}(r'(D(t-T)^\beta)^{-1/\alpha}) \right]. \quad (55) \end{aligned}$$

Среднюю концентрацию частиц  $\langle N \rangle$  свяжем с концентрацией частиц от ближайшего источника  $N$  соотношением  $\langle N \rangle = kN$ , где  $k$  — число таких источников, обеспечивающих  $\langle N \rangle$ .

Формула для вычисления анизотропии принимает вид

$$\begin{aligned} \delta_{\text{кл}} &= \frac{3}{ckr^2} \times \\ &\times \left[ t^{-3\beta/\alpha} \int_r^\infty dr' r'^2 \Psi_3^{(\alpha, \beta)}(r'(Dt^\beta)^{-1/\alpha}) - \right. \\ &\quad \left. - (t-T)^{-3\beta/\alpha} \times \right. \\ &\quad \left. \times \int_r^\infty dr' r'^2 \Psi_3^{(\alpha, \beta)}(r'(D(t-T)^\beta)^{-1/\alpha}) \right] \times \\ &\times \left[ \int_{\max[0, t-T]}^t \tau^{-3\beta/\alpha} \Psi_3^{(\alpha, \beta)}(r(D\tau^\beta)^{-1/\alpha}) \right]^{-1} \quad (56) \end{aligned}$$

Зависимость анизотропии от энергии в предположении аномальной диффузии космических лучей при значениях параметров  $(p, \delta, D_0, \alpha)$ , установленных из анализа спектра всех частиц, демонстрирует рис. 15.

## 8. Заключение

Установление характера распространения космических лучей высокой энергии в многомасштабной (фрактального типа) галактической среде является одной из ключевых проблем астрофизики космических лучей. В настоящее время не существует теоретического вывода уравнения диффузии космических лучей в такой среде из “первых принципов”. Вместе с тем, имеющийся огромный наблюдательный материал позволяет построить феноменологическую модель с небольшим числом параметров, которым можно придать ясный физический смысл.

Развивая предложенную нами ранее модель аномальной диффузии, в которой распространение частиц моделируется фрактальными блужданиями — скачкообразным случайным процессом с “полетами Лёви” и пребываниями в “ловушках Лёви”, в данной работе основное внимание уделено определению параметров модели и проверке возможности согласованного описания имеющихся данных по спектрам основных групп ядер, спектру всех частиц, массовому составу и анизотропии при восстановленных параметрах. Основные результаты и выводы работы формулируются следующим образом.

1. Предложен и реализован метод определения основных параметров модели фрактальной диффузии космических лучей. Внешними параметрами метода являются экспериментальные данные о фрактальной размерности галактической среды, величине изменения показателя спектра в районе излома, энергии точки излома, а также параметры 16 ближайших ( $r \sim (10^2 - 10^3)$  пк) остатков сверхновых ( $t \sim (0, 1 - 4) \times 10^5$  лет) (по данным [4, 55, 56]).
2. Установлено, что показатель спектра генерации частиц в источнике равен  $\gamma \approx 2.85$ . Спектр частиц в области до излома  $E \ll E_k$ , формируемый молодыми близкими источниками, характеризуется показателем  $\eta \approx 2, 6$ , а в точке излома равен показателю спектра в источнике  $\gamma$ . Отличие восстановленного значения от показателя  $\gamma \approx 2, 0 \div 2, 2$  модели ускорения частиц в сверхновых приводит к выводу о том, что сверхновые не являются основными источниками ядерной компоненты космических лучей высокой энергии.
3. Показано, что спектр наблюдаемых в Солнечной системе частиц может быть представлен в виде суммы трех компонент. Первая компонента описывает вклад далеких ( $r \geq 1$  кпк) старых ( $t \geq 10^6$  лет) источников, вто-



рая - вклад от близких молодых источников [48], последняя компонента — излучение от близких молодых источников, достигающее Земли без рассеяния. Согласованное описание основных закономерностей спектров и массового состава получено в рамках гипотезы о том, что далекие источники определяют поведение космических лучей в области энергий  $E \leq 10^2$  ГэВ, близкие —

формируют излом при  $E \sim 3 \cdot 10^6$  ГэВ, нерассеянное излучение приводит к уположиванию спектра при  $E > 5 \cdot 10^9$  ГэВ.

4. Состав ускоряемых источниками частиц, найденный в рамках модели аномальной диффузии по спектрам различных групп ядер в диапазоне  $1 \div 10^6$  ГэВ/нуклон и спектру всех частиц при  $E \sim (10^2 \div 10^{11})$  ГэВ, следующий:  $p \approx 77\%$ ,  $He \approx 16\%$ ,  $CNO \approx 4\%$ ,  $(Ne - Si) \approx 2\%$ ,  $Fe \approx 1\%$ .
5. Тестовые расчеты анизотропии космических лучей показали, что в области энергий ( $10^2 - 10^5$ ) ГэВ анизотропия практически не зависит от энергии, в области за изломом спектра

( $10^7 - 10^8$ ) ГэВ наблюдается ее рост. Принимая значения  $\delta_{кл} \approx 5 \cdot 10^{-3}$  для  $E \approx 10^3 - 10^4$  ГэВ, модель дает  $\delta \sim 10^{-3}$  при  $E \approx 10^8$  ГэВ.

## 9. Благодарность

Авторы выражают благодарность проф. В.В. Учайкину за многочисленные плодотворные обсуждения и помощь в проведении расчетов на начальном этапе разработки проблемы аномальной диффузии космических лучей, а также семинары, проведенные им в Алтайском государственном университете.

## Список литературы

1. Гинзбург В.Л., Сыроватский С.И. Происхождение космических лучей. — М.: Изд-во АН СССР, 1963.
2. Березинский В.С., Буланов С.В., Гинзбург В.Л и др. Астрофизика космических лучей. Под. ред. Гинзбурга В.Л. — Изд. 2-е.-М.: Наука, 1990.
3. Каплан С.А., Пикельнер С.Б. Физика межзвездной среды. — М.: Наука, 1979.
4. Лозинская Т.А. Сверхновые звезды и звездный ветер: взаимодействие с газом Галактики. — М.: Наука, 1987.
5. Рузмайкин А.А., Соколов Д.Д., Шукуров А.М. Магнитные поля галактик. — М.: Наука, 1988.
6. Вайнштейн С.И., Быков А.М., Топтыгин И.Н. Турбулентность, токовые слои и ударные волны в космической плазме. — М.: Наука, 1989.
7. Бочкарев Н.Г. Локальное межзвездное пространство. — М.: Наука, 1990.
8. Falgarone E., Phillips T.G., Walker S.K. The edges of molecular clouds: fractal boundaries and density structure // *ApJ*. — 1991. — **378**. — Pp. 186–201.
9. Молчанов С.А., Рузмайкин А.А., Соколов Д.Д. Магнитная перемежаемость/ В сб. Нелинейные волны: физика и астрофизика. — М.: Наука, 1993. — С. 47–53.
10. Chappell D., Scalo J. Multifractal scaling, geometrical diversity, and hierarchical structure in the cool interstellar medium // *ApJ*. — 2001. — **551**, № 6. — Pp. 712–729.
11. Combes F. Astrophysical Fractals: Interstellar Medium and Galaxies. The Chaotic Universe // *Proc. of the Second ICRA Network Workshop, Advanced Series in Astrophysics and Cosmology*. — 2000. — **10**. — P. 143.
12. Дэвисон Б. Теория переноса нейтронов. — М.: Атомиздат, 1960.
13. Кейз К., Цвайфель П. Линейная теория переноса. — М.: Наука, 1972.
14. Elmegreen B.G. Diffuse  $H\alpha$  in a fractal interstellar medium // *Publ. Astron. Soc. Aust.* — 1998. — **15**. — Pp. 74–78.
15. Bouchaud J., Georges A. Anomalous diffusion in disordered media: Statistical mechanisms, models and physical applications // *Phys. Rep.* — 1990. — **195**. — Pp. 127–293.
16. Isichenko M.B. Percolation, statistical topography, and transport in random media // *Rev. Mod. Phys.* — 1992. — **64**. — Pp. 961–1043.
17. Shlesinger M.F., Zaslavsky G.M., Klafter J. Strange kinetics // *Nature*. — 1993. — **363**. — Pp. 31–37.
18. Чукбар К.В. Стохастический перенос и дробные производные // *ЖЭТФ*. — 1995. — **108**. — С. 1875–1884.
19. Klafter J., Shlesinger M.F., Zumofen G. Beyond Brownian motion // *Phys. Today*. — 1996. — **49**. — Pp. 33–39.
20. Uchaikin V.V., Zolotarev V.M. Chance and Stability. — VSP, Netherlands, Utrecht, 1999.
21. Metzler R., Klafter J. The random walk's guide to anomalous diffusion: a fractional dynamics approach // *Phys. Rep.* — 2000. — **339**. — Pp. 1–77.
22. Applications of fractional calculus / Ed. by R. Hilfer. — Singapore: World Scientific, 2000.

23. *Учайкин В.В.* Автомодельная аномальная диффузия и устойчивые законы // *УФН.* — 2003. — **173**, № 8. — С. 847–876.
24. *Учайкин В.В.* Аномальная диффузия и дробно-устойчивые распределения // *ЖЭТФ.* — 2003. — **124**. — С. 903–920.
25. *Лагутин А.А., Никулин Ю.А., Учайкин В.В.* Излом в спектре космических лучей как следствие фрактальности магнитного поля Галактики. — Препринт АГУ. — № 4. — Барнаул. — 2000.
26. *Lagutin A.A., Nikulin Yu.A., Uchaikin V.V.* The knee in the primary cosmic ray spectrum as consequence of the anomalous diffusion of the particles in the fractal interstellar medium // *Nucl. Phys. B (Proc. Suppl.)*. — 2001. — **97**. — Pp. 267–270.
27. *Lagutin A.A., Strelnikov D.V., Tyumentsev A.G.* Mass composition of cosmic rays in anomalous diffusion model: comparison with experiment // *Proc. of the 27th ICRC (Hamburg)*. — 2001. — **5**. — Pp. 1896–1899. — astro-ph/0107231.
28. *Lagutin A.A., Uchaikin V.V.* Fractional diffusion of cosmic rays // *Proc. of the 27th ICRC (Hamburg)*. — 2001. — **5**. — Pp. 1896–1899. — astro-ph/0107230.
29. *Lagutin A.A.* Anomalous diffusion of the cosmic rays in the fractal Galaxy // *Problems of atomic science and technology*. — 2001. — № 6(2). — Pp. 214–217.
30. *Lagutin A.A., Uchaikin V.V.* Anomalous diffusion equation: Application to cosmic ray transport // *Nucl. Instrum. Meth.* — 2003. — **B201**. — Pp. 212–216.
31. *Erlykin A. D., Lagutin A. A., Wolfendale A. W.* Properties of the interstellar medium and the propagation of cosmic rays in the Galaxy // *Astropart. Phys.* — 2003. — **19**. — Pp. 351–362.
32. *Лагутин А.А., Тюменцев А.Г.* Энергетические спектры космических лучей в галактической среде фрактального типа // *Изв. РАН. Сер. физ.* — 2003. — **67**, № 4. — С. 439–442.
33. *Montroll E.W., Weiss G.H.* Random walks on lattices. II // *J. Math. Phys.* — 1965. — **6**, № 2. — Pp. 167–181.
34. *Феллер В.* Введение в теорию вероятностей и ее приложения. — М.: Мир, 1967.
35. *Uchaikin V.V.* Montroll-Weiss problem, fractional equations, and stable distributions // *Intern. J. of Theor. Phys.* — 2000. — **39**, № 8. — Pp. 2087–2105.
36. *Самко С.Г., Килбас А.А., Маричев О.И.* Интегралы и производные дробного порядка и некоторые их приложения. — Минск: Наука и техника, 1987.
37. *Учайкин В.В.* Субдиффузия и устойчивые законы // *ЖЭТФ.* — 1999. — **115**. — С. 2113–2123.
38. *Золотарев В.М.* Одномерные устойчивые распределения. — М.: Наука, 1983.
39. *Chuvilgin L.G., Ptuskin V.S.* Anomalous diffusion of cosmic rays across the magnetic field // *A&A.* — 1993. — **297**. — Pp. 278–297.
40. *Nagano M., Teshima M., Matsubara Y. et al.* Energy spectrum of primary cosmic rays above  $10^{17.0}$  eV determined from extensive air shower experiments at Akeno // *J. Phys. G: Nucl. Phys.* — 1992. — **18**. — Pp. 423–442.
41. *Hörandel J. R.* On the knee in the energy spectrum of cosmic rays // *Astropart. Phys.* — 2003. — **19**. — Pp. 193–220.
42. *Islsker H., Vlahos L.* Random walk through fractal environments // *Phys. Rev. E.* — 2003. — **67**, № 2. — Pp. 26413–26434. — physics/0211113.
43. *Лагутин А.А., Райкин Р.И., Тюменцев А.Г.* Распределение первого пробега в галактической среде фрактального типа // *настоящий выпуск*. — С. 22–26.
44. *Shibata T.* Energy spectrum and primary composition from direct measurements // *Nucl. Phys. B.* — 1999. — **75**.
45. *Clay R.W., Smith A.G.K.* Cosmic Ray Anisotropies and Auger // *Extremely high energy cosmic rays: astrophysics and future observatories (Tokyo)*. — 1996. — Pp. 104–124.
46. *Aglietta M., Alessandro B., Antonioli P. et al.* The cosmic ray anisotropy between  $10^{14}$  and  $10^{15}$  eV // *Proc. of the 28th ICRC (Tsukuba)*. — 2003. — P. 183–186.
47. *Lagutin A.A., Makarov V.V., Tyumentsev A.G.* Anomalous diffusion of the cosmic rays: steady-state solution // *Proc. of the 27th ICRC (Hamburg)*. — 2001. — **5**. — Pp. 1889–1891. — astro-ph/0107253.
48. *Лагутин А.А., Тюменцев А.Г.* Спектр электронов в Галактике // *настоящий выпуск*. — С. 27–31.
49. *Erlykin A. D., Wolfendale A. W.* High energy cosmic ray spectroscopy. III. Further analyses // *Astropart. Phys.* — 1998. — **8**. — Pp. 265–281.

50. *Erlykin A. D., Wolfendale A. W.* Supernova remnants and the origin of the cosmic radiation: I. SNR acceleration models and their predictions // *J. Phys. G Nucl. Phys.* — 2001. — **27**. — Pp. 941–958.
51. *Gleeson L.J., Axford W.I.* Solar modulation of galactic cosmic rays // *ApJ.* — 1968. — **154**. — Pp. 1011–1025.
52. *Boezio M., Carlson P., Francke T. et al.* The cosmic-ray proton and helium spectra between 0.4 and 200 GV // *ApJ.* — 1999. — **518**. — Pp. 457–472.
53. *Menn W., Hof M., Reimer O. et al.* The absolute flux of protons and helium at the top of the atmosphere using IMAX // *ApJ.* — 2000. — **533**. — Pp. 281–297.
54. *Dorman L.I., Ghosh A., Ptuskin V.S.* Diffusion of the Galactic cosmic rays in the vicinity of the solar system // *Astrophys. and Space Sci.* — 1985. — **109**. — Pp. 87–97.
55. *Kobayashi T., Nishimura J., Komori Y., Yoshida K.* Vela as the most likely source for the primary electrons in TeV region // *Adv. Space Res.* — 2001. — **27**. — Pp. 653–658.
56. *Nishimura J., Fujii M., Taira T.* Electron spectrum at the high energy side // Proc. of the 16th ICRC (Kyoto). — 1979. — **1**. — Pp. 488–493.